

УДК 537.533

## АВТОЭЛЕКТРОННАЯ СПЕКТРОСКОПИЯ ПЛЕНОК BaO РАЗЛИЧНОЙ СТРУКТУРЫ

*T. A. Тумарева, B. A. Иванов, T. C. Кирсанова, H. B. Васильева*

Исследованы энергетические спектры автоэлектронов для тонких ( $\Theta \leq 10$  м. с.) пленок BaO, имеющих как однородную по поверхности толщину, так и состоящих из отдельных кристаллов BaO размером до 500 Å. Для пленок первого типа наблюдался характер эмиссии, удовлетворительно описываемый теорией автоэмиссии для металлов. Для микрокристаллов BaO обнаружен ярко выраженный неметаллический эмиссионный режим, заключающийся в нелинейности ВАХ, появлении многопиковых спектров, существенном влиянии температуры на величину тока и форму спектров. Полученные результаты объясняются с точки зрения модели электронной структуры кристаллов BaO, включающей зону поверхностных состояний и предполагающей наличие в зоне проводимости второй (высокоэнергетической) долины.

Совместное изучение автоэмиссионных изображений и энергетических спектров автоэлектронов, эмиттированных образцом, дает возможность сопоставить структурные преобразования с изменениями в энергетическом строении изучаемых объектов, определить условия формирования в тонких пленках электронной структуры, характерной для массивного образца, что представляет несомненный интерес для физики твердого тела. О существенной зависимости автоэмиссионных характеристик тонких пленок BaO от строения покрытия ранее сообщалось в [1, 2]. В настоящей работе будут обобщены данные, полученные методом автоэлектронной спектроскопии для гладких пленок ( $0 < \Theta < 10$  м. с.) и трехмерных микрокристаллов BaO различных размеров (200—500 Å). Автоэлектронный проектор с зондовым отверстием и энергетическим анализатором позволял проводить измерения эмиссионных характеристик для локальных участков поверхности [3]. Эксперименты выполнялись при  $T=300$  К и при охлаждении катодного узла жидким азотом. Как показали термопарные измерения, температура острия составляла при охлаждении  $T=180$  К.

### 1. Экспериментальные результаты

Под термином «гладкие» здесь подразумеваются пленки BaO, имеющие приблизительно однородную толщину по поверхности острия и не приводящие к изменению геометрического фактора поля у поверхности эмиттера. Пленки формировались путем термического распыления BaO в вакууме на подогретое до  $T \geq 600$  К [110] вольфрамовое острие. В исследованной области толщин ( $0 \leq \Theta \leq 10$  м. с.) для гладких пленок были характерны: 1) линейность ВАХ во всем исследованном диапазоне полей до  $F=10 \cdot 10^8$  В/м (рис. 1); 2) отсутствие существенного изменения предэкспоненциального множителя с ростом  $\Theta$ ; 3) слабое влияние охлаждения на величину автоэмиссионного тока ( $\leq 20\%$ ); 4) соответствующая теории [4] форма и неизменное положение энергетических спектров автоэлектронов (ЭСА) вблизи уровня Ферми  $E_F$  в W-подложке вплоть до плотностей тока  $\sim 10^9$  А/м<sup>2</sup>, после чего наблюдалось аномальное уширение ЭСА, связанное, очевидно, с кулоновским взаимодействием электронов в области пространственного заряда вне эмиттера.

Таким образом, из полученных экспериментальных результатов следует, что многослойные гладкие пленки BaO на W толщиной вплоть до  $\Theta=10$  м. с. можно рассматривать в случае автоэмиссии как «металлоподобную» систему с эффективной работой выхода  $\varphi=1.75 \pm 0.07$  эВ.

Совершенно иной характер поведения автоэмиссионных характеристик был обнаружен при исследовании трехмерных кристаллов BaO. Микрокристаллы формировались путем полевой и термической обработки предварительно напыленных гладких пленок BaO, имевших толщину 5 м. с.  $\leq \Theta \leq 10$  м. с., и обладали регулярным АЭ изображением, свидетельствовавшим, что направлением их роста является [111]. Преимущественной областью локализации микрокристаллов являлись грани (110) W-острия, а характерные размеры кристаллов достигали  $\sim 500$  Å. При этом полный ток, отбираемый с отдельного кристалла, мог составлять  $10^{-5}$  А.

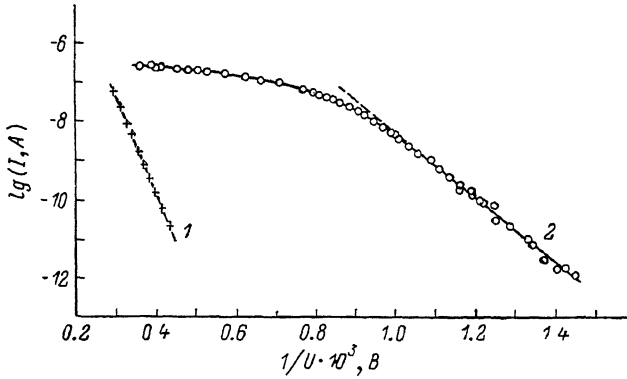


Рис. 1. ВАХ при  $T=300$  К.  
1 — гладкая пленка BaO, 2 — кристалл BaO.

В отличие от гладких пленок зондовые ВАХ, полученные для эмиссионно-активных областей кристаллов BaO, наряду с начальным линейным участком, простирающимся на несколько порядков по току, имели обширный участок насыщения с относительно слабым изменением тока в области сильных полей (рис. 1). Из рис. 1 видно, что начальный линейный участок ВАХ кристаллов BaO имеет существенно меньший наклон (в  $\sim 3$  раза), чем в случае гладких пленок. Очевидно, этот факт в первую очередь объясняется увеличением геометрического фактора поля  $\beta$  у поверхности трехмерных кристаллов BaO. Другим отличием являлось заметное влияние температуры на автоэмиссионный ток, отбираемый с кристаллов BaO. Не меняя общей формы ВАХ, охлаждение до температуры  $T=180$  К приводило к уменьшению тока на участке насыщения в 2–3 раза по сравнению с  $T=300$  К. Данное обстоятельство позволяет утверждать, что, несмотря на высокие предельные значения плотности тока  $j \geq 10^9$  А/м<sup>2</sup>, появление участка насыщения на ВАХ не является следствием влияния пространственного заряда и, очевидно, обусловлено процессами доставки носителей заряда к эмиттирующей поверхности, что типично при автоэмиссии из высокоомных полупроводников.

ЭСА в случае кристаллов BaO также имели сильно выраженный неметаллический характер. При этом между ходом ВАХ и поведением ЭСА наблюдалась определенная корреляция (рис. 2). Спектры, полученные при 300 К и малых анодных напряжениях  $U$  (кривая 1), имели асимметричную форму, напоминающую ЭСА из металлов. Однако высокоэнергетический фронт распределения был менее резким, чем в случае W или гладких пленок BaO при тех же температурах. Максимумы спектров занимали положение, близкое к уровню Ферми в вольфраме ( $\Delta\epsilon_m = E_F - E_m = 0.05$  эВ). В пределах линейного участка ВАХ (кривые 1–5) наблюдалось постепенное смещение ( $\Delta\epsilon_m = 0.4$  эВ) спектров в область низких энергий (уменьшению энергии в твердом теле соответствует увеличение эксперименталь-

ных значений потенциала смещения  $U_c$ ) и их слабое уширение без заметного изменения формы. Затем, на втором участке ВАХ — участке насыщения, — смещение максимумов спектров (кривые 5—8) с увеличением  $U$  достигало  $\sim 1$  эВ, что сопровождалось заметным уширением высокогенеретических фронтов спектров и возрастанием их полуширины.

При охлаждении кристалла BaO общий характер поведения ЭСА, соответствующих малым  $U$ , сохранялся тем же, однако значения  $\Delta\varepsilon_m$  и полуширины (ПШПВ) при фиксированном токе различались для  $T=180$  и 300 К (рис. 3).

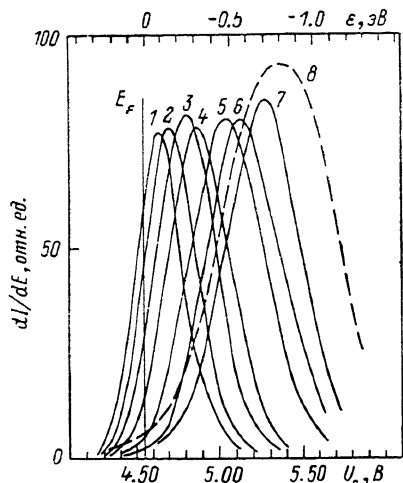


Рис. 2. ЭСА для кристалла BaO,  $T=300$  К.

Нижняя шкала соответствует экспериментальным значениям потенциала смещения  $U_c$ ; верхняя — значениям энергии  $\varepsilon$ , отсчитываемой от уровня Ферми  $E_F$  в вольфраме. Кривые произвольно нормированы по амплитуде. 1 —  $U=880$ , 2 — 936, 3 — 1000, 4 — 1075, 5 — 1170, 6 — 1280, 7 — 1430, 8 — 2030 В.

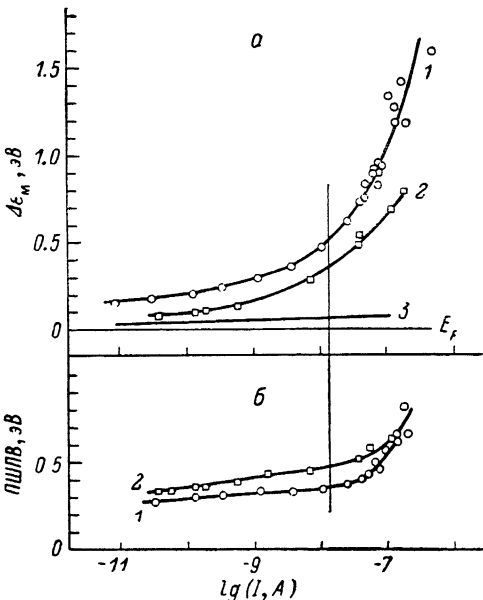


Рис. 3. Зависимости смещения максимумов спектров  $\Delta\varepsilon_m$  (а) и полуширины ПШПВ спектров (б) от логарифма тока  $I$  зондируемого участка поверхности.

1, 2 — кристалл BaO,  $T=180$  и 300 К; 3 — гладкие пленки BaO. Отмечен линейный участок ВАХ.

При повышении  $U$  (область насыщения ВАХ) ЭСА при 180 К (рис. 4) существенно отличались от таковых при 300 К, что заключалось в появлении нового пика (который для удобства рассмотрения назовем пик 2), постепенно проявляющегося на высокогенеретическом фронте единственного до тех пор пика 1. Причем по мере увеличения  $U$  наблюдался ускоренный рост высокогенеретического пика 2 по отношению к пику 1, так что при достаточно высоких  $U$  он становился доминирующим и спектр вновь приобретал вид кривой с одним максимумом (пик 2). Изменение соотношения между амплитудами пиков 1, 2 с ростом  $U$  сопровождалось одновременным сдвигом обоих пиков в область меньших энергий. Разделение между пиками при этом сохранялось и в среднем (для различных кристаллов и серий экспериментов) было равно  $\Delta\varepsilon \approx 0.5$  эВ (рис. 4). Описанная трансформация положения и формы спектров носила обратимый характер по отношению к изменению анодных напряжений, а именно по мере уменьшения  $U$  наблюдалась картина, соответствующая последовательности  $g \rightarrow e \rightarrow b \rightarrow a$  на рис. 4.

Выше были представлены основные закономерности поведения ВАХ и ЭСА для относительно крупных ( $r \sim 500$  Å) кристаллов BaO. Особенностью в случае кристаллов малых размеров ( $r \leq 200$  Å) было появление

в спектрах при высоких  $U$  (конец участка насыщения ВАХ) наряду с пиком 1 другого максимума, жестко привязанного к  $E_F$  в W ( $\Delta\varepsilon_m=0.03$  эВ), что отличало его от пика 2 и указывало на иное происхождение данной особенности, которую для удобства будем именовать пиком 3 [1]. Ответственными за появление этого пика, очевидно, являются электроны, не испытавшие потерь энергии в процессе дрейфа к эмиттирующей вершине от границы с металлом. В пользу такого предположения говорит тот факт, что пик 3 наблюдался только при зондировании кристаллов малых размеров ( $\leq 200$  Å) или периферийных областей крупных кристаллов, когда толщина слоя BaO становится сравнимой с длиной свободного пробега электронов. Наблюдавшийся рост удельного веса пика 3 в спектре при увеличении поля свидетельствует о возрастании доли электронов, не испытавших к моменту эмиссии потерь энергии.

## 2. Обсуждение

Полученные результаты позволяют сделать определенные заключения относительно сложного механизма эмиссии, наблюдающегося для кристаллов BaO.

Однопиковье спектры, полученные при охлаждении кристаллов ( $T=180$  К), имели в области малых полей меньшую полуширину, чем при  $T=300$  К, в основном вследствие увеличения крутизны высокогенеретического фронта. При этом смещение максимумов спектров и, следовательно, величина энергетических потерь при движении электронов от металла-подложки до эмиттирующей вершины кристаллов были большими, чем в случае  $T=300$  К (рис. 3). Такую ситуацию можно объяснить, если предположить, что электроны перед эмиссией в вакуум успевают приходить в термодинамическое равновесие с решеткой BaO. Тогда увеличение крутизны «тепловых» фронтов ЭСА при охлаждении является следствием меньшей заселенности высокогенеретических уровней, согласно статистике Ферми-Дирака, а максимумы спектров примерно соответствуют положению уровня Ферми у эмиттирующей поверхности. Таким образом, можно заключить, что эмиссия в области малых токов определяется в основном прозрачностью поверхности барьера на границе с вакуумом. При этом наклон начальных линейных участков ВАХ, соответствующих такому квазиравновесному режиму, характеризует параметры данного потенциального барьера на поверхности.

Положение экспериментальных спектров, соответствующее в условиях термодинамического равновесия (ток с кристалла  $I \leq 10^{-9}$  А) уровню  $E_F$  в металле-подложке ( $\Delta\varepsilon_m \approx 0$ ), означает, что эмиссия осуществляется либо из вырожденной у поверхности объемной зоны проводимости BaO,

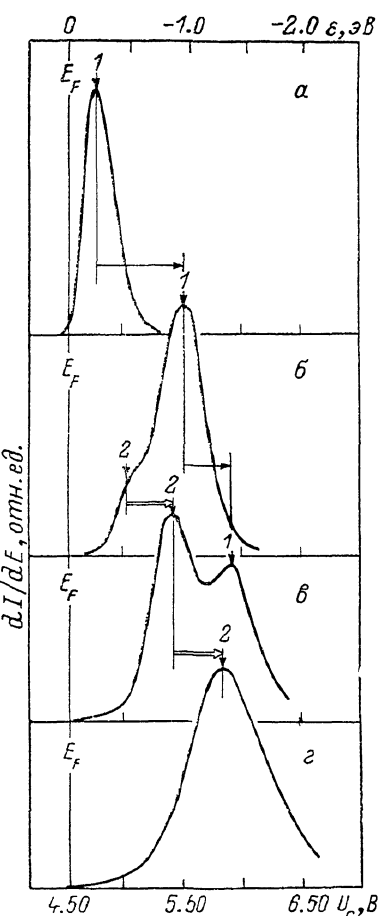


Рис. 4. Изменение формы спектров при возрастании анодного напряжения для кристалла BaO при  $T=180$  К.

Кривые произвольно нормированы по амплитуде.  
а —  $U=915$ , б — 1300, в — 1530, г — 1980 В.

ложки до эмиттирующей вершины кристаллов были большими, чем в случае  $T=300$  К (рис. 3). Такую ситуацию можно объяснить, если предположить, что электроны перед эмиссией в вакуум успевают приходить в термодинамическое равновесие с решеткой BaO. Тогда увеличение крутизны «тепловых» фронтов ЭСА при охлаждении является следствием меньшей заселенности высокогенеретических уровней, согласно статистике Ферми-Дирака, а максимумы спектров примерно соответствуют положению уровня Ферми у эмиттирующей поверхности. Таким образом, можно заключить, что эмиссия в области малых токов определяется в основном прозрачностью поверхности барьера на границе с вакуумом. При этом наклон начальных линейных участков ВАХ, соответствующих такому квазиравновесному режиму, характеризует параметры данного потенциального барьера на поверхности.

Положение экспериментальных спектров, соответствующее в условиях термодинамического равновесия (ток с кристалла  $I \leq 10^{-9}$  А) уровню  $E_F$  в металле-подложке ( $\Delta\varepsilon_m \approx 0$ ), означает, что эмиссия осуществляется либо из вырожденной у поверхности объемной зоны проводимости BaO,

либо из заполненной части зоны поверхностных состояний, расположенных в запрещенной зоне полупроводника (известно [5], что BaO обладает широкой запрещенной зоной  $\Delta E \approx 4.5$  эВ, участие валентной зоны в эмиссии можно сразу исключить). Был проведен оценочный расчет конфигурации энергетических зон системы металл—кристалл BaO, помещенной во внешнее поле и находящейся в условиях термодинамического равновесия. Использовался классический подход — изгиб зон определялся из решения одномерного уравнения Пуассона при соответствующих граничных условиях и объемных параметрах BaO. Оценки показали, что если пренебречь наличием поверхностных состояний на границе кристалла BaO—вакуум, то при внешних полях, соответствующих в эксперименте равновесному режиму ( $F = 6 \cdot 10^8$  В/м), вырождения зоны проводимости BaO на границе с вакуумом не наступает. Даже при значительно больших полях ( $F = 20 \cdot 10^8$  В/м) глубина вырождения зоны проводимости оказывается слишком малой, чтобы объяснить экспериментально наблюдаемую ширину ЭСА эмиссией исключительно из этой зоны BaO. Из этого следует, что спектры, регистрируемые в области малых полей, соответствуют по своему положению запрещенной зоне BaO. Таким образом, данные АЭ спектроскопии указывают на существование зоны поверхностных энергетических уровней, перекрывающейся с зоной проводимости BaO и простирающейся по меньшей мере на глубину  $\sim 0.6$  эВ ниже уровня Ферми (ширина части спектра ниже  $E_F$  при малых токах).

Данный вывод согласуется с рядом известных экспериментальных фактов, которые невозможно объяснить только с точки зрения объемной зонной структуры BaO и которые, очевидно, свидетельствуют о поверхностной активности кристаллов и поликристаллических пленок BaO [5–7]. Так, при низких температурах для пленок BaO и окислов ІІІМ в оксидном катоде наблюдается достаточно малая энергия активации электронной проводимости ( $\sim 0.1$  эВ) и полученные значения термоэдс соответствуют высокой концентрации электронов проводимости ( $\sim 10^{24}$  м<sup>-3</sup>), в то время как, по данным оптических измерений, донорные уровни в объеме расположены глубоко и дно объемной зоны проводимости значительно удалено от уровня Ферми ( $E_c - E_F \geq 0.6$  эВ).

Обращаясь к результатам настоящей работы, можно предположить, что зона поверхностных уровней образована состояниями донорного типа. Тогда положительный заряд, локализованный в незаполненных поверхностных состояниях выше уровня Ферми, приводит к искривлению энергетических зон и образованию у поверхности кристаллов потенциальной ямы (рис. 5). Положение дна зоны проводимости  $E_s$  у поверхности относительно  $E_F$  оценивалось по изменению проводимости кристаллов (изменение смещения спектров  $\Delta\epsilon_{\nu}$  при постоянном уровне тока эмиссии) при переходе от  $T = 300$  к 180 К. Предполагая, что основным механизмом расщепления носителей являются электрон-фононные взаимодействия (подвижность  $\mu \sim T^{-3/2}$ ), проводимость можно представить в виде

$$\sigma \sim T^{-3/2} \exp [-(E_s - E_F)/kT],$$

что для области малых полей приводит к значениям  $E_s - E_F = 0.06$  эВ. Значительная концентрация электронов в области приповерхностной потенциальной ямы (по оценкам,  $N_s \sim 10^{16}$  м<sup>-2</sup>) обуславливает высокую проводимость кристаллов и возможность отбора больших плотностей тока ( $\geq 10^9$  А/м<sup>2</sup>), наблюдавшихся в эксперименте. Значения электропроводности для обособленных микрокристаллов BaO, полученные в настоящей работе ( $\sigma \approx 40$  Ом<sup>-1</sup>·м<sup>-1</sup>), более чем на 4 порядка превышают известные данные [8] для поликристаллических оксидных покрытий при тех же условиях (внутреннее поле 10<sup>7</sup> В/м,  $T = 300$  К).

Согласно предложенной модели, пик I в спектрах обусловлен эмиссией из заполненной части зоны поверхностных состояний, перекрывающейся с зоной проводимости (рис. 5). При переходе от начального линейного участка к участку насыщения ВАХ фактором, ограничивающим величину

эмиссии, становится процесс доставки электронов к эмиттирующей вершине кристаллов. Величина смещения пика 1 относительно  $E_F$  в W, приблизительно равная падению напряжения вдоль кристалла, свидетельствует, что средняя величина поля внутри кристалла достигает  $\Delta\epsilon_x/r = -3 \cdot 10^7$  В/м и приближается к предельным значениям  $F/\epsilon$ , определяемым диэлектрической проницаемостью BaO ( $\epsilon=34$  по [5]). В этом случае возможен разогрев электронного газа в поле, что является одной из причин уширения высокоэнергетических фронтов пика 1 в спектрах.

Появление в условиях сильного внутреннего поля высокоэнергетического пика 2 могло бы являться следствием размерного квантования уровней в зоне проводимости, которое для автоэмиссионного режима было теоретически рассмотрено в [9]. Однако простые оценки показывают, что при внутренних полях  $\sim 3 \cdot 10^7$  В/м энергетический интервал между квантованными уровнями в треугольной потенциальной яме [10] должен быть

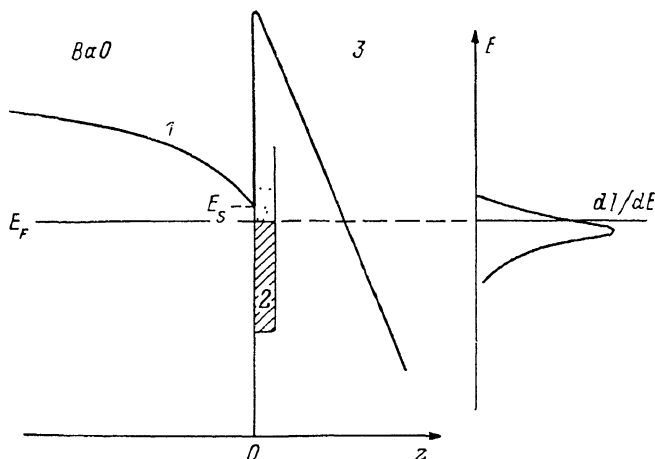


Рис. 5. Энергетическая диаграмма приповерхностной области кристалла BaO и соответствующий ЭСА.

1 — зона проводимости кристалла, 2 — зона поверхностных состояний, 3 — вакуум.

значительно меньшим, чем разделение  $\Delta\epsilon$  между пиками 1, 2 в экспериментальных спектрах. Неизменное положение пика 2 относительно максимума пика 1, примерно соответствующего положению дна зоны проводимости на поверхности, наводит на мысль, что пик 2 обусловлен некоторой особенностью в электронной структуре кристаллов, например эмиссией из второй (высокоэнергетической) долины зоны проводимости BaO (о возможности экспериментального наблюдения двухдолинного режима автоэмиссии уже сообщалось в [11, 12]). Расчеты энергетической структуры, проведенные в последнее время для ионных соединений со структурой каменной соли (NaCl, KCl, MgO), действительно показали наличие второй долины в зоне проводимости таких соединений. С этой точки зрения появление и ускоренный рост пика 2 относительно пика 1 при увеличении внешнего поля можно объяснить возрастанием вследствие разогрева электронного газа в поле доли электронов, поступающих к эмиттирующей поверхности в высокоэнергетической долине.

Таким образом, результаты настоящей работы показали существенную зависимость поведения АЭ характеристик от структуры и строения пленки. При этом если для гладких пленок BaO толщиной  $0 < \Theta < 10$  м. с. наблюдался «металлический» характер эмиссии, то для микрокристаллов BaO, сформированных из пленок примерно той же средней толщины, обнаружен ярко выраженный «неметаллический» режим эмиссии, заключающийся в нелинейности ВАХ, существенном влиянии температуры, появлении многопиковых ЭСА.

## Л и т е р а т у р а

- [1] Кирсанова Т. С., Тумарева Т. А., Иванов В. А. // Изв. АН СССР, сер. физ. 1985. Т. 49. № 9. С. 1721—1724.
- [2] Кирсанова Т. С., Тумарева Т. А., Иванов В. А. // Тр. ЛПИ. 1985. № 412. С. 31—34.
- [3] Иванов В. А., Кирсанова Т. С., Тумарева Т. А. // ФТТ. 1981. Т. 23. № 3. С. 664—668.
- [4] Young R. D. // Phys. Rev. 1959. V. 113. N 1. P. 110—114.
- [5] Никонов Б. П. Оксидный катод. М., 1979. 240 с.
- [6] Красинькова М. В., Мойжес Б. Я. // Поверхность. 1985. № 10. С. 98—104.
- [7] Ибрагимов А. // Тез. докл. XIX Всес. конф. по эмиссионной электронике. Ташкент, 1984. С. 72.
- [8] Ибрагимов А., Красинькова М. В. // Письма в ЖТФ. 1976. Т. 2. № 7. С. 325—327.
- [9] Милешкина Н. В., Рудаков В. С., Семыкина Е. А. // Вестник ЛГУ, сер. 4. 1986. В. 4. С. 79—83; Баранчук С. И., Милешкина Н. В., Семыкина Е. А. // ФТТ. 1988. Т. 30. № 3. С. 756—759.
- [10] Добропольский В. Н., Литовченко В. Г. // Перенос электронов и дырок у поверхности полупроводников. Киев, 1985. 192 с.
- [11] Latham R. V., Wilson D. A. // J. Phys. D: Appl. Phys. 1983. V. 16. P. 455—463.
- [12] Athwal C. S., Latham R. V. // J. Phys. D: Appl. Phys. 1984. V. 17. N 5. P. 1029—1043.

Ленинградский политехнический  
институт им. М. И. Калинина  
Ленинград

Поступило в Редакцию  
24 июня 1988 г.